

Московский Государственный Университет  
имени М. В. Ломоносова  
Факультет вычислительной математики и кибернетики  
Кафедра математической физики



КУРСОВАЯ РАБОТА СТУДЕНТА 402 ГРУППЫ  
Турганбаева Сатбека Амангельдыулы

Численное исследование одного метода восстановления волнового фронта

Научный руководитель:  
д.ф-м.н. профессор Разгулин А. В.

Москва 2017

# Содержание

<b>Введение</b>	<b>2</b>
<b>1 Преобразование Хаара</b>	<b>3</b>
1.1 Формулировки и определения . . . . .	3
1.2 Одномерный сигнал . . . . .	3
1.3 Дополнение нулями . . . . .	4
1.4 Двумерное преобразование . . . . .	4
1.5 Явные формулы для анализа . . . . .	5
<b>2 Градиенты. Геометрия Хаджина и Фрайда</b>	<b>6</b>
2.1 Геометрия Хаджина и Фрайда . . . . .	6
2.2 Градиенты и преобразование Хаара . . . . .	6
<b>3 Вывод формул прямого преобразования</b>	<b>6</b>
3.1 Получение LH, HL квадрантов . . . . .	7
3.2 Получение HH квадранта . . . . .	8
<b>4 Программная реализация</b>	<b>8</b>
4.1 Программная реализация метода . . . . .	8
4.2 Программная реализация интерфейса для исследования метода . . . . .	9
<b>5 Результаты вычислительных экспериментов</b>	<b>10</b>
<b>Заключение</b>	<b>15</b>

# Введение

Системы адаптивной оптики используемые в современных телескопах используют гибкие зеркала, для коррекции аберраций, вызванных турбулентностью атмосферы Земли. Одним из устройств для измерения волнового фронта является датчик Шака-Гартмана. Данный датчик измеряет градиент волнового фронта, вместо него самого. Получаются матрицы градиентов  $X$  и  $Y$ .

В [1] был предложен метод восстановления волнового фронта по его наклонам с использованием преобразования Хаара. Идея метода заключается в том, что наклоны волнового фронта могут быть представлены в виде суперпозиции сверток с фильтрами преобразования Хаара. Используя это соотношение возможно выполнить "замену переменной и получить разложение волнового фронта по вейвлетам Хаара. Затем, применив стандартный алгоритм обратного преобразования получить исходный волновой фронт. Стоит отметить, что в [1] кроме наклонов волнового фронта и его интенсивности также требовалась и интенсивность правого нижнего квадранта  $\frac{M-1}{HH}\Phi$ , но в более новой статье [2] было предложено более простое решение, и ослаблены требования к начальным данным.

Целью работы является ознакомление с методом, его программная реализация, а также реализация средств для его дальнейшего исследования. В ходе работы были разобраны статьи [1]- [2], и на их основе написана первая часть работы, знакомящая с преобразованием Хаара и методом. При программной реализации был написан ряд модулей, реализующих как сам метод, так и средства для его исследования. В работе описан их функционал. Также приведены примеры работы метода на полиномах Цернике.

# 1 Преобразование Хаара

## 1.1 Формулировки и определения

**Z-преобразованием** дискретного сигнала  $\{s_j\}_{j \in \mathbb{Z}}$  называется полином Лорана  $P_s(z) = \sum_{j \in \mathbb{Z}} s_j z^{-j}$ .  
 $h = (\frac{1}{\sqrt{2}}, \frac{1}{\sqrt{2}})$ ,  $g = (\frac{1}{\sqrt{2}}, -\frac{1}{\sqrt{2}})$  - низкочастотный и высокочастотный фильтры преобразования Хаара.

$$H_L(z) = \frac{1 + z^{-1}}{\sqrt{2}}$$

$$H_H(z) = \frac{1 - z^{-1}}{\sqrt{2}}$$

$H_L(z)$ ,  $H_H(z)$  -  $z$  - преобразования фильтров  $h$  и  $g$  соответственно.

**Линейной сверткой** двух дискретных сигналов  $a(n)$ ,  $n = 0 \dots N - 1$  и  $b(n)$ ,  $n = 0 \dots M - 1$  называется выражение:

$$h = a \otimes b$$
$$h(n) = \sum_{m=0}^n a(m)b(n-m)$$

Ввиду того, что сигналы конечномерные на границах возникает неопределенность из-за отсутствия соответствующих элементов. Проблема решается различными способами: дополнение одного из обоих сигналов 0-ми, константами, симметричное отражение и т.д.

Также одним из свойств  $z$ -преобразования является то, что  $z$ -преобразование свертки двух сигналов равно произведению  $z$ -преобразований этих сигналов.

$\uparrow$   $s$  - операция, добавляющая 0 после каждого элемента сигнала  $s$ .

$\downarrow_k$   $s$  - операция, удаляющая каждый  $k$ -ый элемент сигнала  $s$ .

Если  $s = (1, 2, 3, 4)$ , то  $\uparrow_2 s = (1, 0, 2, 0, 3, 0, 4, 0)$ , а  $\downarrow_2 s = (1, 3)$ .

Также стоит отметить, что:

$$\downarrow_2 H_L(z^{2^k}) = H_L(z^{2^{k-1}}), \quad k \geq 2$$

$$\downarrow_2 H_H(z^{2^k}) = H_H(z^{2^{k-1}}), \quad k \geq 2$$

$$\uparrow_2 H_L(z^{2^{k-1}}) = H_L(z^{2^k}), \quad k \geq 2$$

$$\uparrow_2 H_H(z^{2^{k-1}}) = H_H(z^{2^k}), \quad k \geq 2$$

В дальнейшем под сигналом будет пониматься его  $z$ -преобразование и наоборот.

## 1.2 Одномерный сигнал

Будем предполагать в дальнейшем, что размерность сигналов равна  $2^m$ ,  $m \geq 1$ .

Свернем сигнал  $h_m(z)$ ,  $\dim h_m = 2^m$  с фильтрами  $H_L(z)$ ,  $H_H(z)$ , а затем применим к получившемуся операцию  $\downarrow_2$ .

Получим сигналы:

$$h_{L_{m-1}}(z) = \downarrow_2 \{h_m(z)H_L(z)\}$$

$$h_{H_{m-1}}(z) = \downarrow_2 \{h_m(z)H_H(z)\}.$$

Их размерности будут в два раза меньше, размерности исходного сигнала  $h_m$ .

$h_{L_{m-1}}(z)$  называется низкочастотной составляющей сигнала  $h_m$ , а  $h_{H_{m-1}}(z)$  высокочастотной.

Восстановление исходного сигнала происходит так:

$$h_m(z) = \uparrow_2 \{h_{L_{m-1}}(z)\}H_L(z) + \uparrow_2 \{h_{H_{m-1}}(z)\}H_H(z)$$

Описанные выше преобразования выполняют один шаг прямого и обратного преобразования Хаара. Прямое преобразование называется анализом, обратное синтезом.

Если положить, что  $h_m = h_{L_m}$ , то алгоритм анализа выглядит так:

$k$  называется разрешением разложения. Анализ будет происходить до тех пор, пока не останется один элемент.

---

### Algorithm 2 Алгоритм синтеза

---

**for**  $k = m \dots 1$  **do**

$$h_{L_{m-k+1}}(z) = \uparrow_2 \{h_{L_{m-k}}(z)\}H_L(z^{-1}) + \uparrow_2 \{h_{H_{m-k}}(z)\}H_H(z^{-1})$$

**end for**

---

---

**Algorithm 1** Алгоритм анализа

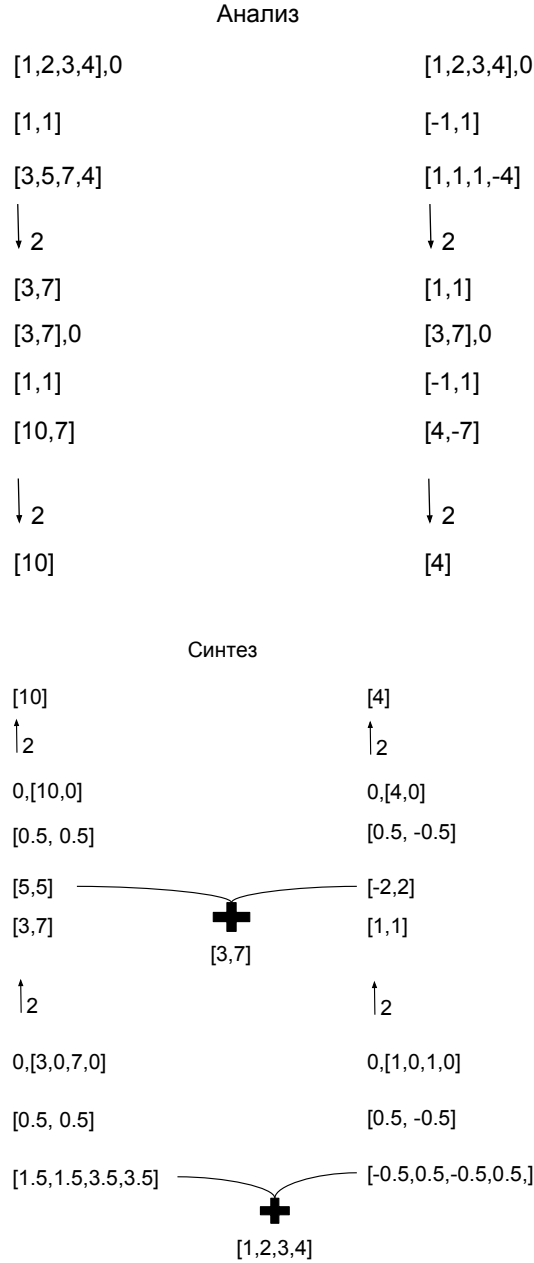
---

```
for  $k = 1 \dots m$  do  
     $h_{L_{m-k}}(z) = \downarrow_2 \{h_{L_{m-k+1}}(z)H_L(z)\}$   
     $h_{H_{m-k}}(z) = \downarrow_2 \{h_{L_{m-k+1}}(z)H_H(z)\}$ .  
end for
```

---

### 1.3 Дополнение нулями

В описываемом методе при анализе будем дополнять нулями справа, а при синтезе слева. Ниже приведены примеры анализа и синтеза сигнала (1, 2, 3, 4). Для наглядности используются нестандартные пары фильтров, [1, 1], [1, -1] и [0.5, 0.5], [0.5, -0.5].



### 1.4 Двумерное преобразование

Пусть дана матрица  ${}^M\Phi, {}^M\Phi \in \mathbb{R}^{2^M \times 2^M}$ . Применим к каждой строке матрицы один шаг анализа. В результате получим матрицы  ${}^{m-1}_L\Phi, {}^{m-1}_H\Phi$ . К каждому столбцу обеих матриц также применим шаг анализа. В итоге получим четыре матрицы  ${}^{m-1}_{LL}\Phi, {}^{m-1}_{LH}\Phi, {}^{m-1}_{HL}\Phi, {}^{m-1}_{HH}\Phi$ .  ${}^{m-1}_{LL}\Phi$  - является низкочастотной составляющей двумерного сигнала, остальные три матрицы содержат детализирующую информацию. Таким образом будет выполнен первый шаг

двумерного преобразования Хаара. Нужно проделать аналогичные операции с  ${}_{LL}^{m-1}\Phi$  для следующего шага. Таким образом, шаг двумерного преобразования свелся к композиции одномерных преобразований.

Синтез происходит аналогичным образом: в обратном анализе порядке дополняется нулями соответствующая размерность и применяются фильтры Хаара, а затем результаты складываются.

Пусть  ${}^M\Phi = {}_{LL}^M\Phi$

---

**Algorithm 3** Алгоритм 2D-анализа

---

```

for  $k = M \dots 1$  do
   ${}_{LL}^{k-1}\Phi = \downarrow_2 \{ {}_{LL}^k\Phi H_L(z_h) H_L(z_v) \}$ 
   ${}_{LH}^{k-1}\Phi = \downarrow_2 \{ {}_{LL}^k\Phi H_L(z_h) H_H(z_v) \}$ 
   ${}_{HL}^{k-1}\Phi = \downarrow_2 \{ {}_{LL}^k\Phi H_H(z_h) H_L(z_v) \}$ 
   ${}_{HH}^{k-1}\Phi = \downarrow_2 \{ {}_{LL}^k\Phi H_H(z_h) H_H(z_v) \}$ 
end for

```

---



---

**Algorithm 4** Алгоритм 2D-синтеза

---

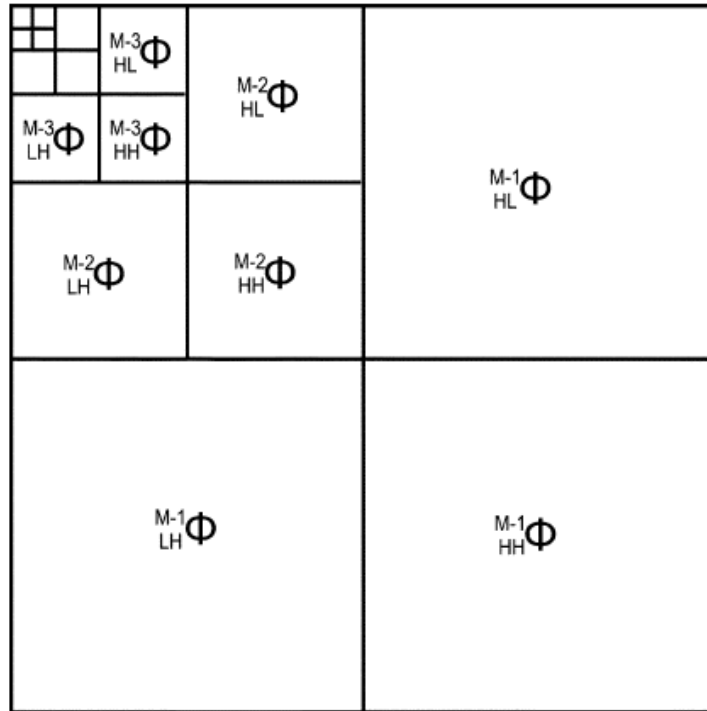
```

for  $k = 1 \dots M$  do
   ${}_{LL}^{k-1}\Phi = \uparrow_2 \{ {}_{LL}^{k-1}\Phi H_L(z_v^{-1}) + {}_{LH}^{k-1}\Phi H_L(z_v^{-1}) \} H_L(z_h^{-1}) + \uparrow_2 \{ {}_{HL}^{k-1}\Phi H_L(z_v^{-1}) + {}_{HH}^{k-1}\Phi H_L(z_v^{-1}) \} H_H(z_h^{-1})$ 
end for

```

---

Полученное 2-D разложение можно представить в виде диаграммы, где на каждом уровне  $LL$ ,  $LH$ ,  $HL$  и  $HH$  составляющим соответствуют определенные квадранты.



## 1.5 Явные формулы для анализа

Из алгоритма анализа непосредственно выводятся формулы для  $LL$ ,  $LH$ ,  $HL$  и  $HH$  составляющих на каждом уровне.

$${}_{LL}^{M-m}\Phi = \downarrow_{2^m} \{ {}^M\Phi \prod_{k=0}^{m-1} H_L(z_h^{2^k}) \prod_{k=0}^{m-1} H_L(z_v^{2^k}) \} \quad (1)$$

$${}_{LH}^{M-m}\Phi = \downarrow_{2^m} \{ {}^M\Phi H_H(z_v^{2^{m-1}}) \prod_{k=0}^{m-1} H_L(z_h^{2^k}) \prod_{k=0}^{m-2} H_L(z_v^{2^k}) \} \quad (2)$$

$${}_{HL}^{M-m}\Phi = \downarrow_{2^m} \{ {}^M\Phi H_H(z_h^{2^{m-1}}) \prod_{k=0}^{m-2} H_L(z_h^{2^k}) \prod_{k=0}^{m-1} H_L(z_v^{2^k}) \} \quad (3)$$

$${}_{HH}^{M-m}\Phi = \downarrow_{2^m} \{ {}^M\Phi H_H(z_v^{2^{m-1}}) H_H(z_v^{2^{m-1}}) \prod_{k=0}^{m-2} H_L(z_h^{2^k}) \prod_{k=0}^{m-2} H_L(z_v^{2^k}) \} \quad (4)$$

## 2 Градиенты. Геометрия Хаджина и Фрайда

### 2.1 Геометрия Хаджина и Фрайда

В адаптивной оптике используются два различных способа представления наклонов волнового фронта. Согласно [3] это геометрии Хаджина и Фрайда. Геометрия Хаджина:

$${}_H x_{i,j} = -\phi_{i,j} + \phi_{i,j+1}$$

$${}_H y_{i,j} = -\phi_{i,j} + \phi_{i+1,j}$$

Получившиеся матрицы  ${}_H^M X$ ,  ${}_H^M Y$  имеют размерности  $2^M \times (2^M - 1)$  и  $(2^M - 1) \times 2^M$  соответственно. Геометрия Фрайда:

$${}_F x_{i,j} = \frac{{}_H x_{i,j} + {}_H x_{i+1,j}}{2} = \frac{-\phi_{i,j} + \phi_{i,j+1} - \phi_{i+1,j} + \phi_{i+1,j+1}}{2}$$

$${}_F y_{i,j} = \frac{{}_H y_{i,j} + {}_H y_{i,j+1}}{2} = \frac{-\phi_{i,j} - \phi_{i,j+1} + \phi_{i+1,j} + \phi_{i+1,j+1}}{2}$$

Получившиеся матрицы  ${}_F^M X$ ,  ${}_F^M Y$  имеют одинаковые размерности  $2^M - 1 \times 2^M - 1$ .

### 2.2 Градиенты и преобразование Хаара

Справедливы следующие соотношения.

$${}_H^M X = {}^M\Phi \sqrt{2} H_H(z_h) \quad (5)$$

$${}_H^M Y = {}^M\Phi \sqrt{2} H_H(z_v) \quad (6)$$

$${}_F^M X = \frac{{}_H^M X H_L(z_v)}{\sqrt{2}} = {}^M\Phi H_H(z_h) H_L(z_v) \quad (7)$$

$${}_F^M Y = \frac{{}_H^M Y H_L(z_h)}{\sqrt{2}} = {}^M\Phi H_L(z_h) H_H(z_v) \quad (8)$$

## 3 Вывод формул прямого преобразования

Рассмотрим случай, когда известны вертикальные и горизонтальные наклоны, а также интенсивность волнового фронта. Иначе говоря имеются:  ${}_F^M X$ ,  ${}_F^M Y$ ,  ${}_H^M X$ ,  ${}_H^M Y$ ,  ${}_0^{LL}\Phi$ .

Необходимо получить из имеющихся данных получить  $2D$ -разложение волнового фронта, а затем восстановить сам волновой фронт, применив к полученному разложению стандартный алгоритм синтеза.[1] Диаграмма разложения которое необходимо получить будем аналогична диаграмме стандартного разложения:

<table><tr><td></td><td></td><td></td></tr><tr><td></td><td></td><td></td></tr></table>							M-3 HL $\Phi$	M-2 HL $\Phi$	M-1 HL $\Phi$
M-3 LH $\Phi$	M-3 HH $\Phi$								
M-2 LH $\Phi$		M-2 HH $\Phi$							
M-1 LH $\Phi$		M-1 HH $\Phi$							

Отличаться будут лишь формулы (1)-(4). "Идейно" метод заключается в замене переменной. Используя соотношения (5)-(8), получим аналоги (1)-(4).

### 3.1 Получение LH, HL квадрантов

Из соотношений (5), (6) и (3), (2) соответственно, непосредственно вытекает, что:

$$\begin{aligned} \overset{M-1}{HL} \Phi &= \downarrow_2 \overset{M}{F} X \\ \overset{M-1}{LH} \Phi &= \downarrow_2 \overset{M}{F} Y \end{aligned}$$

Докажем справедливость выражения  $H_H(z^{2^{m-1}}) = \sqrt{2}^{m-1} H_H(z) \prod_{k=0}^{m-2} H_L(z^{2^k})$

*Доказательство.* Запишем  $H_H(z^{2^{m-1}})$  в виде полинома

$$\begin{aligned} H_H(z^{2^{m-1}}) &= \frac{1 - z^{2^{m-1}}}{\sqrt{2}} \\ \frac{1 - z^{2^{m-1}}}{\sqrt{2}} &= \frac{(1 - z^{2^{m-2}})(1 + z^{2^{m-2}})}{\sqrt{2}} = \dots = \frac{(1 - z)(1 + z)(1 + z^2) \dots (1 + z^{2^{m-2}})}{\sqrt{2}} \\ H_H(z^{2^{m-1}}) &= \sqrt{2}^{m-1} H_H(z) \prod_{k=0}^{m-2} H_L(z^{2^k}) \end{aligned}$$

□

**LH,  $m > 1$ :**

$$\begin{aligned} \overset{M-m}{LH} \Phi &= \downarrow_{2^m} \{ \overset{M}{\Phi} [H_H(z_v^{2^{m-1}})] [\prod_{k=0}^{m-1} H_L(z_h^{2^k})] \prod_{k=0}^{m-2} H_L(z_v^{2^k}) \} = \\ &= \downarrow_{2^m} \{ \overset{M}{\Phi} [\sqrt{2}^{m-1} H_H(z_v) \prod_{k=0}^{m-2} H_L(z_v^{2^k})] [H_L(z_h) \prod_{k=1}^{m-1} H_L(z_h^{2^k})] \prod_{k=0}^{m-2} H_L(z_v^{2^k}) \} \\ &= \sqrt{2}^{m-1} \downarrow_{2^m} \{ \overset{M}{\Phi} H_L(z_h) H_H(z_v) \prod_{k=1}^{m-1} H_L(z_h^{2^k}) \prod_{k=0}^{m-2} H_L^2(z_v^{2^k}) \} \end{aligned}$$



$$= \sqrt{2}^{m-1} \downarrow_{2^m} \{ {}^M_F Y \prod_{k=1}^{m-1} H_L(z_h^{2^k}) \prod_{k=0}^{m-2} H_L^2(z_v^{2^k}) \}$$

**HL**,  $m > 1$ :

Выводится аналогично, LH

$$\frac{M-m}{HL} \Phi = \sqrt{2}^{m-1} \downarrow_{2^m} \{ {}^M_F Y \prod_{k=0}^{m-2} H_L^2(z_h^{2^k}) \prod_{k=1}^{m-1} H_L(z_v^{2^k}) \}$$

### 3.2 Получение HH квадранта

**HH**,  $m = 1:2$

Докажем, что  $\frac{M-1}{HH} \Phi \downarrow_2 \{ \frac{\sqrt{2}}{4} [ {}^M_H X H_H(z_v) + {}^M_H Y H_H(z_h) ] \}$

*Доказательство.* Известно, что  $\frac{M-1}{HH} \Phi = \downarrow_2 [ {}^M_H \Phi H_H(z_h) H_H(z_v) ]$ .

Распишем  $\frac{M-1}{HH} \Phi = \downarrow_2 \{ \frac{\sqrt{2}}{2} \sqrt{2} {}^M_H \Phi H_H(z_h) H_H(z_v) \}$ , выделив из (7)  $\frac{M}{H} X$  получим:

$$\frac{M-1}{HH} \Phi = \downarrow_2 \{ \frac{\sqrt{2}}{2} {}^M_H X H_H(z_v) \} = \downarrow_2 \{ \frac{\sqrt{2}}{4} 2 {}^M_H X H_H(z_v) \}$$

Разделив (7) на (8) получим:

$$\frac{M}{H} X H_H(z_v) = \frac{M}{H} Y H_H(z_h)$$

Отсюда получим:

$$\frac{M-1}{HH} \Phi \downarrow_2 \{ \frac{\sqrt{2}}{4} [ {}^M_H X H_H(z_v) + {}^M_H Y H_H(z_h) ] \}$$

□

**HH**,  $m > 1$ :

$$\begin{aligned} \frac{M-m}{HH} \Phi &= \downarrow_{2^m} \{ {}^M_H \Phi H_H(z_v^{2^{m-1}}) H_H(z_v^{2^{m-1}}) \prod_{k=0}^{m-2} H_L(z_h^{2^k}) \prod_{k=0}^{m-2} H_L(z_v^{2^k}) \} = \\ &= \downarrow_{2^m} \{ {}^M_H \Phi \sqrt{2}^{m-1} H_H(z_h) \prod_{k=0}^{m-2} H_L(z_h^{2^k}) \prod_{k=0}^{m-2} H_L(z_h^{2^k}) H_H(z_v^{2^{m-1}}) H_L(z_v) \prod_{k=1}^{m-2} H_L(z_v^{2^k}) \} = \\ &= \sqrt{2}^{m-1} \downarrow_{2^m} \{ {}^M_F X \prod_{k=0}^{m-2} H_L^2(z_h^{2^k}) H_H(z_v^{2^{m-1}}) \prod_{k=1}^{m-2} H_L(z_v^{2^k}) \} \end{aligned}$$

## 4 Программная реализация

Программная реализация представляет из себя две группы модулей на языке Python 3.6.

Первая группа реализует сам метод и предоставляет функции *analyze* и *synthesis*. Вторая группа отвечает за реализацию интерфейса для дальнейшего изучения метода.

Рассмотрим подробнее структуру первой группы модулей.

### 4.1 Программная реализация метода

Список группы модулей, реализующих сам метод:

- **data.py**
- **gradients.py**
- **measurements.py**
- **util.py**
- **decomposition.py**

**data.py** - модуль отвечает за задание начальных данных. Предоставляет функцию *get\_plane*, которая задает сетку размера  $2^M \times 2^M$  для дальнейших вычислений.

**gradients.py** - модуль предоставляет функции для нахождения градиента от заранее известной матрицы. В модуле находятся функции: *Fried\_gradient\_model* и *Hudgin\_gradien\_model*, которые возвращают градиенты по геометриям Фрайда и Хаджина.

**measurements.py** - модуль предоставляет функции для нахождения метрик схожести изображений. Модуль включает функцию *mse*, которая находит среднее квадратичное отклонение двух изображений.

**util.py** - служебный модуль, используемый другими. Предоставляет функции для свертки сигналов, работы с  $z$ -преобразованиями. Включает в себя функции:

- *downsample* - реализует операцию  $\downarrow_k$  с одномерными и двумерными массивами
- *convolve\_2d* - осуществляет свертку двумерного массива с фильтром либо по строкам, либо по столбцам;
- *GetH\_h* - возвращает вектор, соответствующий  $z$ -преобразованию  $H_H(z^k)$ , для  $k \geq 1$ .
- *GetH\_l* - возвращает вектор, соответствующий  $z$ -преобразованию  $H_L(z^k)$ , для  $k \geq 1$ .

**decomposition.py** - реализуется разложение двумерного сигнала по вейвлетам Хаара. Основными функциями являются *analyze* и *synthesis* - именно они реализуют прямое и обратное преобразования Хаара. Ввиду того, что уже существует крупная библиотека, реализующая вейвлет преобразования **pywt (PyWavelets)**, результат функции *analyze* не конфликтует с результатом библиотечной функции *pywt.dwt2*, реализующей прямые вейвлет преобразования двумерных сигналов. Ввиду того, что в методе используется стандартный алгоритм обратного преобразования Хаара функция *synthesis*, реализующая его является оберткой над библиотечной функций *pywt.idwt2*.

## 4.2 Программная реализация интерфейса для исследования метода

Интерфейс для исследования метода реализуется двумя модулями **research.py** и **view.py**.

**research.py** используя модули из другой группы, предоставляет функции, которые возвращают информацию необходимую для исследования метода. Модуль предоставляет функцию *get\_all*.

*get\_all(func, grad\_x, grad\_y, x\_s, x\_e, y\_s, y\_e, M)*

Функция принимает в качестве параметров три функции: исходную функцию и два её градиента в явном виде, затем функция принимает параметры для задания сетки, на которой будут заданы функция и ее градиенты, значение  $LL[0]$ . Функция вычисляет следующий набор данных:

- исходную функцию
- исходные градиенты
- $\frac{M}{H}X$ ,  $\frac{M}{H}Y$  составляющие от градиента
- $\frac{M}{F}X$ ,  $\frac{M}{F}Y$  составляющие от градиента
- $LL$ ,  $LH$ ,  $HL$ ,  $HH$  квадранты разложения
- среднеквадратичное отклонение исходной функции от восстановленной ( $LL[M]$ )
- размерность матрицы,  $M$

**view.py** отвечает за визуализацию и детализацию информации полученной из **research.py**. Предоставляет функцию *show\_all*.

*show\_all(func, grad\_x, grad\_y, x\_s, x\_e, y\_s, y\_e, M)*

Принимает те же параметры, что и *get\_all*, вызывая ее внутри себя. Выводит изображения исходного и восстановленного сигналов. А также печатает следующие данные:

- *mse* от градиентов Хаджина и Фрайда с настоящим градиентом
- $LL[0]$  исходного изображения
- $LL[0]$  восстановленного изображения
- Максимум исходного изображения
- Максимум восстановленного изображения
- Минимум исходного изображения

- Минимум восстановленного изображения
- размерность изображения

Под  $mse$  и среднеквадратичным отклонением подразумевается:

$$\sqrt{\frac{\sum_{k=1}^n (X_k - Y_k)^2}{n S}}$$

$S$  - "площадь" матрицы  $X$  или  $Y$ , произведение количества строк на количество столбцов.

## 5 Результаты вычислительных экспериментов

Проверка работоспособности метода осуществляется с помощью разработанного интерфейса, функции `view.show_all` на полиномах Цернике.

```
res1 = view.show_all(lambda x,y: x**2 + y**2, lambda x,y: 2*x, lambda x,y: 2*y, -10,10,-10,10, 8,1400)
```

```
MSE = 1.96548776779
M = 8
Погрешность X_H= 0.0416500410518
Погрешность Y_H= 0.0416500410518
Погрешность X_F= 0.0417316278902
Погрешность Y_F= 0.0417316278902
LL[0] исходного изображения [[ 17200.52287582]]
LL[0] восстановленного изображения 1400.0
Максимум исходного изображения 200.0
Максимум восстановленного изображения 1718.80208333
Минимум исходного изображения 0.00307574009996
Минимум восстановленного изображения -851.237132353
```

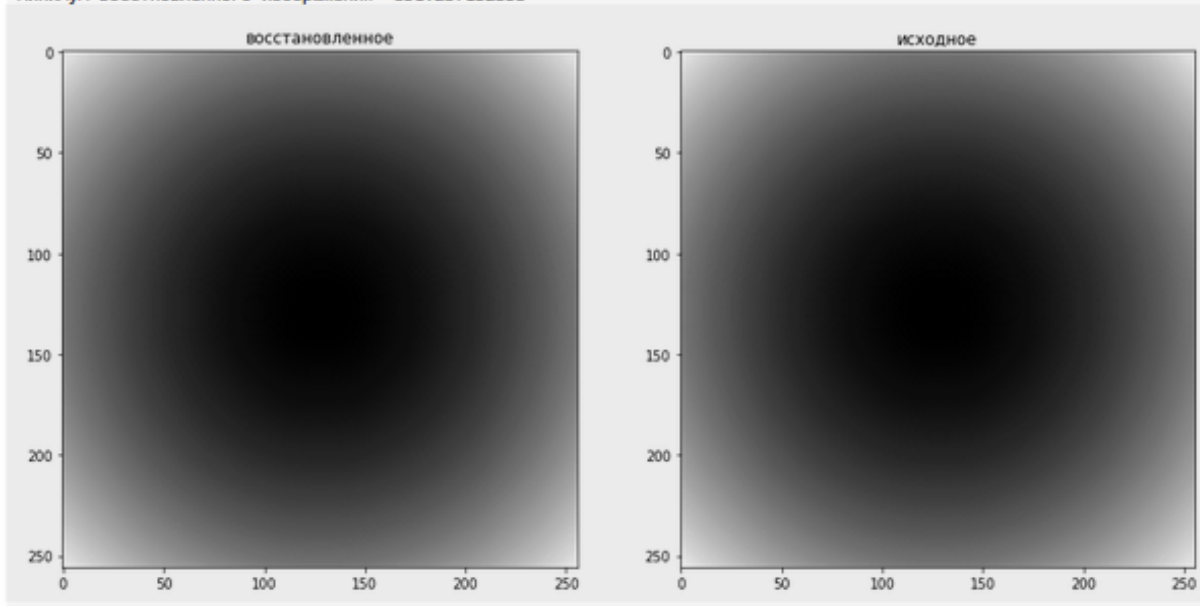


Рис. 1: Полином  $R_2^2(x, y) = x^2 + y^2$

```
res4 = view.show_all(lambda x,y:np.sqrt(x**2 + y**2),lambda x,y: x/(np.sqrt(x**2 + y**2)),
                    lambda x,y: y/(np.sqrt(x**2 + y**2)), -1,1,-1,1,8 ,1)
```

```
MSE = 0.141349800341
M = 8
Погрешность X_H= 0.00274277930801
Погрешность Y_H= 0.00274277930801
Погрешность X_F= 0.00275122153648
Погрешность Y_F= 0.00275122153648
LL[0] исходного изображения [[ 196.65714983]]
LL[0] восстановленного изображения 1.0
Максимум исходного изображения 1.41421356237
Максимум восстановленного изображения 83.077240418
Минимум исходного изображения 0.00554593553872
Минимум восстановленного изображения -97.9615391337
```

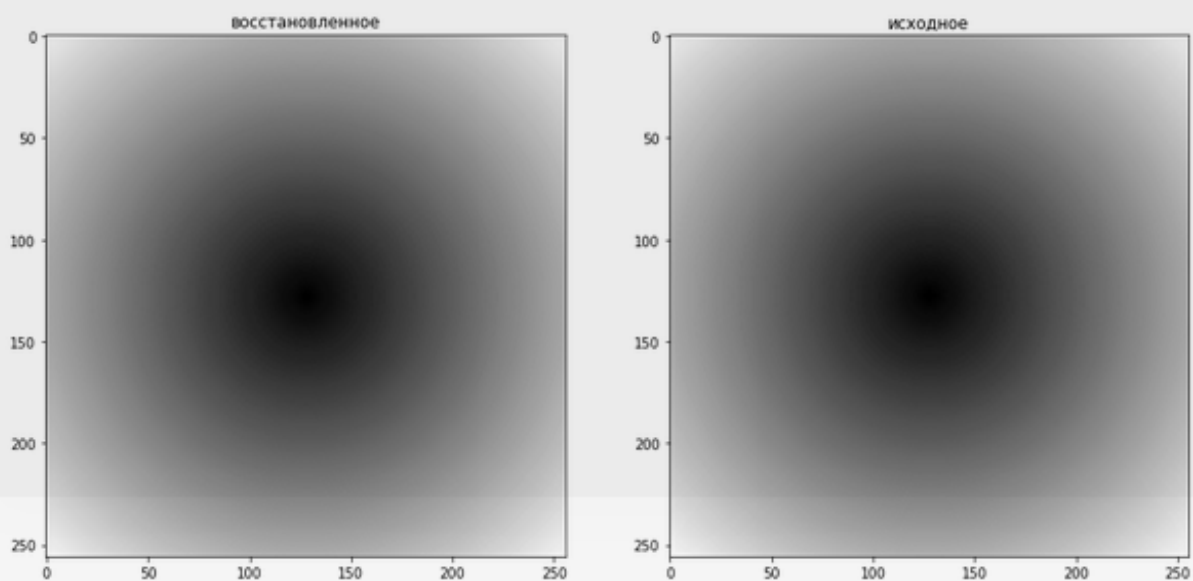


Рис. 2: Полином  $R_1^1(x, y) = \sqrt{x^2 + y^2}$

```
res5 = view.show_all(lambda x,y:2*(x**2 + y**2) - 1,lambda x,y: 4*x,  
                    lambda x,y: 4*y, -1,1,-1,1,8,88 )
```

MSE = 0.420003376637

M = 8

Погрешность  $X_H$  = 0.0089680179661

Погрешность  $Y_H$  = 0.0089680179661

Погрешность  $X_F$  = 0.00898558510922

Погрешность  $Y_F$  = 0.00898558510922

LL[0] исходного изображения [[ 88.01045752]]

LL[0] восстановленного изображения 88.0

Максимум исходного изображения 3.0

Максимум восстановленного изображения 343.010416667

Минимум исходного изображения -0.999938485198

Минимум восстановленного изображения -170.997426471

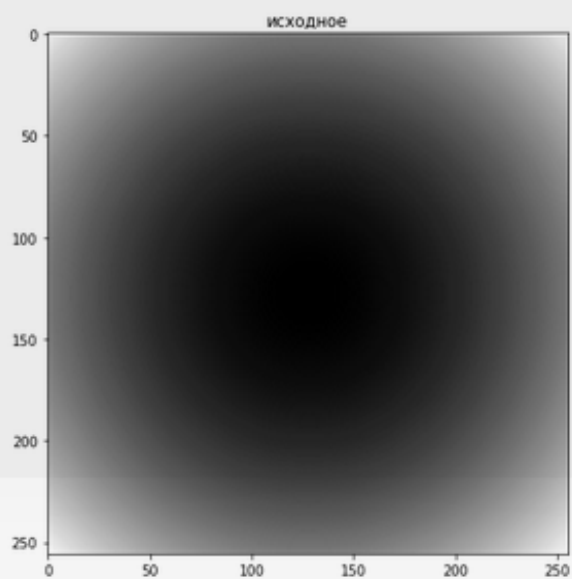
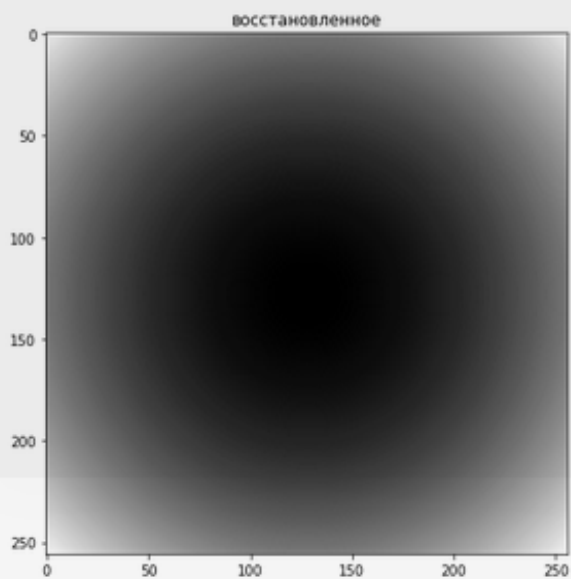


Рис. 3: Полином  $R_2^0(x, y) = 2(x^2 + y^2) - 1$

```
resb = view.show_all(lambda x,y:(x**2 + y**2)*np.sqrt(x**2 + y**2),
                    lambda x,y: 2*x*np.sqrt(x**2 + y**2) + x**3/(np.sqrt(x**2 + y**2)) + x*y**2/np.sqrt(x**2 + y**2),
                    lambda x,y:2*y*np.sqrt(x**2 + y**2) + y**3/(np.sqrt(x**2 + y**2)) + y*x**2/np.sqrt(x**2 + y**2),
                    -1,1,-1,1,8)
```

MSE = 0.270378428597

M = 8

Погрешность X\_H= 0.00650719267634

Погрешность Y\_H= 0.00650719267634

Погрешность X\_F= 0.00651086342343

Погрешность Y\_F= 0.00651086342343

LL[0] исходного изображения [[ 162.45008259]]

LL[0] восстановленного изображения 1.0

Максимум исходного изображения 2.82842712475

Максимум восстановленного изображения 283.970569152

Минимум исходного изображения 1.70578563282e-07

Минимум восстановленного изображения -80.9072843798

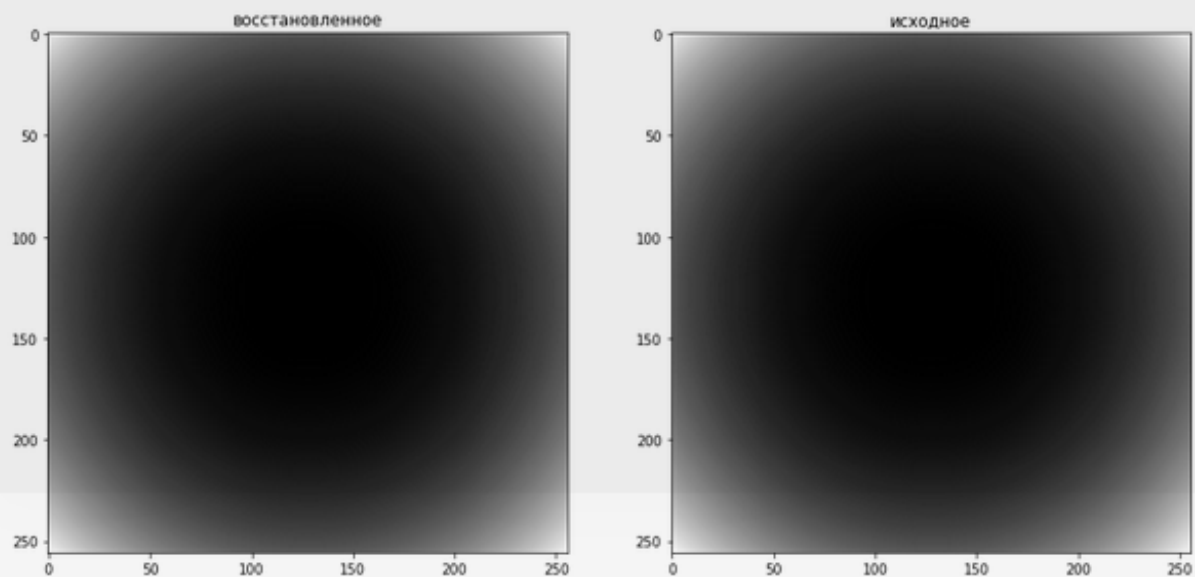


Рис. 4: Полином  $R_3(x, y) = (x^2 + y^2) \sqrt{x^2 + y^2}$

```
res3 = view.show_all(lambda x,y: x**2 - y**2, lambda x,y: 2*x, lambda x,y: -2*y, -10,10,-10,10, 8)
```

MSE = 1.95064463103

M = 8

Погрешность X\_H= 0.0416500410518

Погрешность Y\_H= 0.0416500410518

Погрешность X\_F= 0.0417316278902

Погрешность Y\_F= 0.0417316278902

LL[0] исходного изображения [[ 2.27373675e-13]]

LL[0] восстановленного изображения 0.999999999996

Максимум исходного изображения 99.99846213

Максимум восстановленного изображения 1285.02351409

Минимум исходного изображения -99.99846213

Минимум восстановленного изображения -1285.01570159

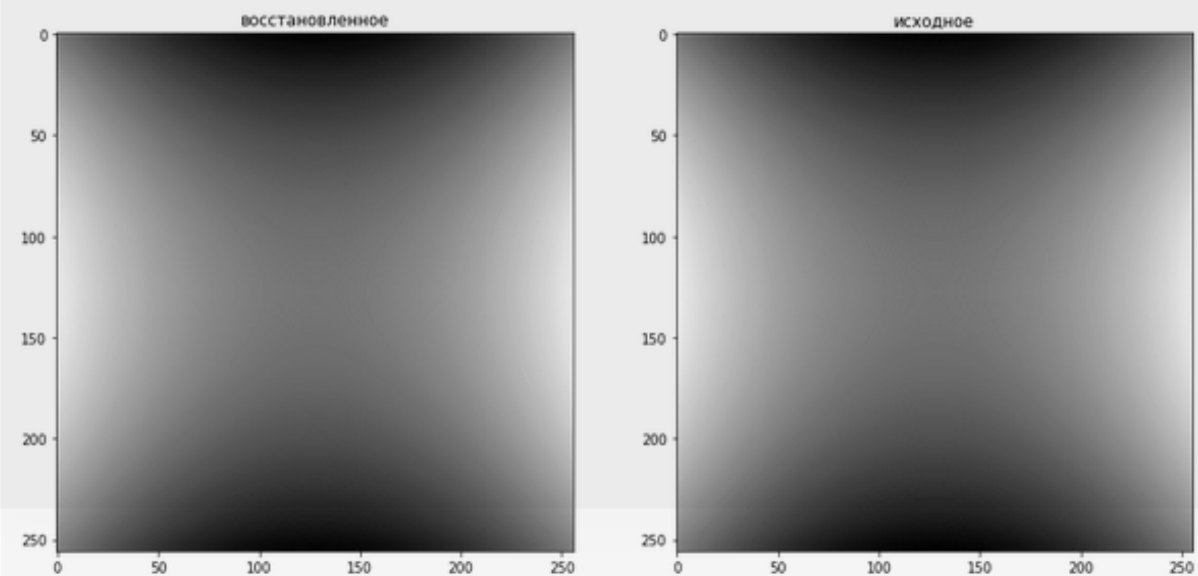


Рис. 5:  $x^2 - y^2$

## Заключение

В ходе работы удалось реализовать метод и проверить его работоспособность. Однако, реализовать именно тот алгоритм, который был предложен в [1] и [2] не удалось. Был использован менее эффективный по производительности алгоритм на основе формул для прямого преобразования. Были написаны модули для работы и исследования метода, с обособленной логикой, что позволит упростить дальнейшую разработку. Удалось инкапсулировать неоднозначную работу со сверткой сигналов и  $z$ -преобразованиями, и избежать конфликтов с модулем `pywt`, что может быть в дальнейшем при тестировании.

Из полученных программой результатов можно сделать вывод, что точность восстановления зависит от точности аппроксимации производной моделями Хаджина и Фрайда. Однако это требует дополнительных исследований.

Стоит отметить, что метод обладает ресурсом параллелизма.



## Список литературы

- [1] IEEE Pan Agathoklis Senior Member IEEE Peter J. Hampton, Student Member and Colin Bradley. A new wave-front reconstruction method for adaptive optics systems using wavelets. *IEEE JOURNAL OF SELECTED TOPICS IN SIGNAL PROCESSING*, 2(5):781–792, 10 2008.
- [2] Panajotis Agathoklis Ioana S. Sevcenco, Peter J. Hampton. A wavelet based method for image reconstruction from gradient data with applications. *Springer Science+Business Media New York*, pages 717–737, 9 2013.
- [3] D. T. Gavel L. A. Poyneer and J. M. Brase. Fast wavefront reconstruction in large adaptive optics systems with the fourier transform. *J. Opt. Soc. Amer. A*, 2002.